

ДВИЖЕНИЕ ПУЗЫРЯ В ВЯЗКОЙ ЖИДКОСТИ

А. М. Голозин, М. Ф. Иванов

(Москва)

Рассматривается стационарное обтекание вязкой жидкостью сферического пузыря при малых числах Рейнольдса R . Метод асимптотического срачивания [1] позволяет рассчитать силу сопротивления пузыря, которая хорошо согласуется с экспериментом в области $R < 5$. При допущении о больших числах Пекле вычислена скорость роста (растворения) пузыря.

Экспериментальные данные, представленные в обзоре Хабермана и Мортонна [2], по скорости подъема одиночных пузырей в жидкостях показывают, что сила вязкого сопротивления, действующая на пузырь при малых числах Рейнольдса ($R \ll 1$), совпадает с силой Стокса для твердой сферы того же радиуса. По мнению В. Г. Левича [3], причина этого обстоятельства связана с адсорбцией поверхностно-активных веществ, приводящей к образованию неподвижной пленки на поверхности пузыря. По мере увеличения R наблюдается переход от силы сопротивления, определяемой формулой Стокса, к силе сопротивления Адамара — Рыбчинского [3], действующей на сферический пузырь со свободной поверхностью. Этот переход, как показывают экспериментальные данные [2], осуществляется в зависимости от свойств жидкости в довольно широком интервале чисел Рейнольдса от $R \approx 10^{-4}$ до $R \approx 20$.

Ниже предполагается, что при $R \ll 1$ происходит обтекание сферического пузыря со свободной поверхностью. Функция тока определяется уравнением [1]

$$D^4\psi = \frac{R}{r^2 \sin \theta} \left(\frac{\partial \psi}{\partial \theta} \frac{\partial}{\partial r} - \frac{\partial \psi}{\partial r} \frac{\partial}{\partial \theta} + 2 \operatorname{ctg} \theta \frac{\partial \psi}{\partial r} - \frac{2}{r} \frac{\partial \psi}{\partial \theta} \right) D^2\psi \quad (1)$$

$$\left(D^2 = \frac{\partial^2}{\partial r^2} + \frac{\sin \theta}{r^2} \frac{\partial}{\partial \theta} \frac{1}{\sin \theta} \frac{\partial}{\partial \theta}, \quad R = \frac{ua}{\nu} \right)$$

Здесь r — расстояние от центра пузыря, деленное на его радиус a ; θ — полярный угол, отсчитываемый от направления скорости натекающего потока u ; ν — кинематическая вязкость жидкости.

Граничные условия, выражающие обращение в нуль v_r -радиальной компоненты скорости и $\sigma_{r\theta}$ -компоненты тензора напряжений на поверхности пузыря, а также условие равномерности натекающего потока, имеют вид

$$\frac{\partial \psi}{\partial \theta} = 0, \quad \frac{\partial^2 \psi}{\partial \theta^2} - \frac{\partial^2 \psi}{\partial r^2} + 2 \frac{\partial \psi}{\partial r} = 0 \quad \text{при } r = 1 \quad (2)$$

$$\psi \rightarrow \frac{1}{2} r^2 \sin^2 \theta \quad \text{при } r \rightarrow \infty$$

Будем искать решение в виде

$$\psi = \psi_0 + R\psi_1 + R^2\psi_2 + \dots \quad (R \ll 1)$$

Тогда, как следует из (1) и (2)

$$\psi_0 = 1/2 r (r - 1) \sin^2 \theta \quad (3)$$

$$D^4 \psi_1 = -3r^{-2} (1 - r^{-1}) \sin^2 \theta \cos \theta \quad (4)$$

Частное решение уравнения (4) имеет вид

$$\psi_1 = - [1/8 r (r - 1) + a_5 r^5 + a_3 r^3 + a_0 + a_{-2} r^{-2}] \sin^2 \theta \cos \theta$$

По принципу минимальной особенности [1] следует полагать $a_5 = a_3 = 0$. Действительно, если сохранить эти члены, то нельзя будет это решение сшить с внешним разложением функции тока.

Таким образом, общее решение уравнения (4), удовлетворяющее граничным условиям при $r = 1$ и при $r \rightarrow \infty$, возрастающее не быстрее чем r^2 , имеет вид

$$\psi_1 = (A - 1/8 \cos \theta) r (r - 1) \sin^2 \theta \quad (5)$$

Здесь A — некоторая постоянная, определяемая из сращивания с внешним разложением.

Далее можно получить уравнение

$$D^4 \psi_2 = P_1(r) Q_1(\theta) + P_2(r) Q_2(\theta) + P_3(r) Q_3(\theta) \quad (6)$$

$$\left(\begin{array}{l} Q_1(\theta) = \sin^2 \theta, \\ Q_3(\theta) = (5 \cos^2 \theta - 1) \sin^2 \theta, \end{array} \quad \begin{array}{l} Q_2(\theta) = \sin^2 \theta \cos \theta \\ P_1(r) = 1/5 r^{-1} (1 - 3/2 r^{-1}) \end{array} \right)$$

Следует заметить, что Q_i являются собственными функциями оператора D^2 .

Решение уравнения (6) можно искать в виде

$$\psi_2 = f_1(r) Q_1(\theta) + f_2(r) Q_2(\theta) + f_3(r) Q_3(\theta)$$

Ограничимся определением функции $f_1(r)$

$$f_1(r) = a_3 r^3 + a_2 r^2 + a_1 r + b_2 r^2 \ln r \quad (7)$$

Подстановка (7) в уравнение (6) позволяет определить коэффициенты, причем $b_2 = 1/20$.

Как видно из формул (5) и (7), поправки к функции тока не удовлетворяют граничному условию на бесконечности. Причина этого обстоятельства, как известно [1], связана с тем, что отношение конвективных членов к вязким является величиной порядка Rr при $r \rightarrow \infty$. Хотя это отношение мало при $r \sim 1$, тем не менее на достаточно больших расстояниях конвективные члены в уравнении (1) не могут рассматриваться как малая поправка к уравнению Стокса.

Уравнения Озеена частично учитывают конвективные члены и правильно описывают поле скоростей на больших расстояниях [1]

$$\left(D^2 - \cos \theta \frac{\partial}{\partial \rho} + \frac{\sin \theta}{\rho} \frac{\partial}{\partial \theta} \right) D^2 \Psi = 0 \quad (8)$$

$$\left(D^2 = \frac{\partial^2}{\partial \rho^2} + \frac{\sin \theta}{\rho^2} \frac{\partial}{\partial \theta} \frac{1}{\sin \theta} \frac{\partial}{\partial \theta}, \quad \rho = Rr, \quad \Psi(\rho, \theta) = \psi\left(\frac{\rho}{R}, \theta\right) \right)$$

Решение уравнения (8), удовлетворяющее условиям на бесконечности и принципу минимальной особенности в начале координат, имеет вид

$$\Psi = \frac{\rho^2}{2R^2} \sin^2 \theta - \frac{B}{R} (1 + \cos \theta) \left\{ 1 - \exp \left[-\frac{\rho}{2} (1 - \cos \theta) \right] \right\} \quad (9)$$

Здесь B — некоторая постоянная, которая определяется методом асимптотического сращивания.

Двучленное внешнее разложение (9), переписанное во внутренних переменных

$$\Psi = \frac{r^2}{2} \sin^2 \theta - \frac{B}{R} (1 + \cos \theta) \left\{ 1 - \exp \left[-\frac{Rr}{2} (1 - \cos \theta) \right] \right\}$$

разложенное для малых R

$$\Psi = 1/2 r^2 \sin^2 \theta - 1/2 Br \sin^2 \theta$$

должно совпадать с одночленным внутренним разложением (3).

Следовательно, $B = 1$.

Двучленное внутреннее разложение (3), (5), записанное во внешних переменных

$$\psi = 1/2 (\rho / R) (\rho / R - 1) (1 + AR - 1/4 R \cos \theta) \sin^2 \theta$$

разложенное для малых R

$$\psi = 1/2 (\rho / R)^2 (1 - R / \rho + AR - 1/4 R \cos \theta) \sin^2 \theta$$

должно совпадать с двучленным внешним разложением (9), записанным с точностью до членов порядка R включительно

$$\Psi = 1/2 r^2 \sin^2 \theta - 1/2 r \sin^2 \theta + 1/8 r^2 R (1 - \cos \theta) \sin^2 \theta$$

Отсюда следует, что $A = 1/4$.

Таким образом, с точностью до членов порядка R функция тока вблизи поверхности пузыря имеет вид

$$\psi = 1/2 r (r - 1) [1 + 1/4 R (1 - \cos \theta)] \sin^2 \theta \quad (10)$$

Если следующую поправку к функции тока ψ_2 записать во внешних переменных, то среди прочих членов там будет содержаться член более высокого порядка

$$\psi_2 = -\frac{\rho^2 \ln R}{20R^2} \sin^2 \theta \quad (11)$$

Известно [4], что если искать решение вдали от сферы в виде ряда по степеням R , принимая решение Озеена за нулевое приближение, то следующее приближение не содержит членов, которые сшиваются с функцией (11). Поэтому, чтобы ликвидировать этот член, внутреннее разложение следует дополнить членом вида

$$\psi = \psi_0 + R\psi_1 + 1/20 R^2 \ln R r (r - 1) \sin^2 \theta + \dots$$

С точностью до членов порядка $R^2 \ln R$ функция тока вблизи поверхности пузыря имеет вид

$$\psi = \frac{1}{2} r (r - 1) \left[1 + \frac{1}{4} R (1 - \cos \theta) + \frac{1}{10} R^2 \ln R \right] \sin^2 \theta$$

Расчет силы сопротивления, испытываемой стационарно движущимся пузырем в жидкости, приводит к следующему результату:

$$F = 4\pi\mu a u \left(1 + \frac{1}{4} R + \frac{1}{10} R^2 \ln R \right) \quad (12)$$

Здесь $\mu = \rho' \nu$ — динамическая вязкость жидкости.

Если ограничиться учетом первых двух членов в формуле (12), то зависимость коэффициента сопротивления c_D от R будет иметь вид

$$c_D = \frac{2F}{\pi \rho' a^2 u^2} = \frac{8}{R} \left(1 + \frac{1}{4} R \right) \quad (13)$$

Эта формула до $R \approx 5$ хорошо согласуется с экспериментальными данными [2], представленными на фигуре, где 1 — решение Стокса для твердой фазы, 2 — решение Стокса с поправкой Озеена, 3 — решение Адамара — Рыбчинского для сферы со свободной поверхностью, 4 — расчет по формуле (13). Экспериментальные кривые изображены точками.

Хотя в области $1.5 < R < 5$ формула Стокса также согласуется с экспериментальными данными, тем не менее соответствие с экспериментом формулы (13) по всей области $R < 5$ позволяет считать, что обтекание пузыря можно рассматривать как обтекание сферы со свободной поверхностью, а не как твердой сферической частицы.

Различие в режимах обтекания, несущественное при определении скорости подъема пузыря в области $1.5 < R < 5$, оказывается важным при расчете скорости диффузионного роста или растворения пузыря.

Известно [3], что при стоксовском режиме обтекания при $ua \gg D(v \gg D)$ диффузионный поток к поверхности твердой сферы равен

$$I = 7.98 (uD^2 a^4)^{1/2} (c_\infty - c_a) \quad (14)$$

Здесь c_∞, c_a — концентрация газа вдали от пузыря и на его поверхности.

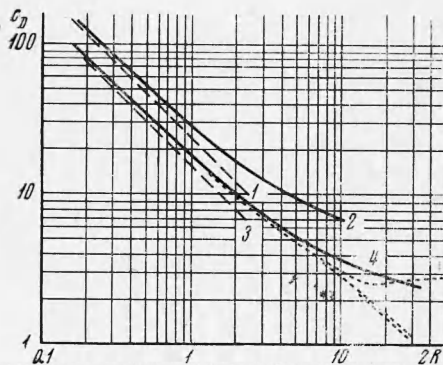
При обтекании сферы со свободной поверхностью аналогичный расчет с использованием формулы (10) позволяет получить

$$I = 5.79 (uD a^3)^{1/2} \left(1 + \frac{1}{4} R \right)^{1/2} (c_\infty - c_a) \quad (15)$$

При $R \rightarrow 0$ этот результат переходит в формулу Левича [3]. Для $R = 5$ поправка к первому члену разложения в ряд по степеням R составляет 50%

В формулу (15) можно подставить скорость стационарного подъема пузыря

$$u = \frac{1}{3} \frac{ga^2}{\nu} \frac{1}{1 + \frac{1}{4} R} \quad (16)$$



Здесь g — ускорение свободного падения.

Тогда полный поток на поверхность пузыря будет иметь вид

$$I = 3.35 (Da^5g / \nu)^{1/2} (c_\infty - c_a) \quad (17)$$

Следует отметить, что сокращение множителя, зависящего от R в формуле (17), происходит и при учете следующего члена разложения функции тока в ряд по степеням R .

Известно [3], что скорость диффузионного роста (растворения) сферического пузыря при больших числах Рейнольдса ($\sqrt{R} \gg 1$) в отсутствие поверхностно-активных веществ также описывается формулой (17). Так что, по-видимому, эта формула пригодна по всей области безотрывного обтекания сферического пузыря.

Авторы благодарят В. Г. Левича за обсуждение результатов работы.

Поступила 23 IV 1970

ЛИТЕРАТУРА

1. В а н - Д а й к М. Методы теории возмущений в механике жидкости. «Мир», 1967.
2. H a b e r m a n W. L., M o r t o n R. K. An experimental study of bubbles moving in liquids. Proc. Amer. Soc. Civil Engineers, 1954, vol. 80, No. 1, Separate No. 387.
3. Л е в и ч В. Г. Физико-химическая гидродинамика. М., Физматгиз, 1959.
4. P r o u d m a n I., P e a r s o n J. R. Expansions at small Reynolds Number for the flow past a sphere and circular cylinder. J. Fluid Mech., 1957, vol. 2, pt. 3, pp. 237—262.